

پژوهش‌های ژئومورفولوژی کمی، سال پنجم، شماره ۲، پاییز ۱۳۹۵  
صفحه ۲۰-۳۵

## بررسی پتانسیل فرسایش‌پذیری بادی خاک در مناطق خشک و فراخشک مرکزی ایران (مطالعه موردی: دشت یزد-اردکان)

پیمان امین\* - کارشناسی ارشد مدیریت مناطق بیابانی دانشکده منابع طبیعی و کویرشناسی دانشگاه بزد  
روح الله تقی زاده مهرجردی - استادیار دانشکده منابع طبیعی دانشگاه اردکان

تأثید نهایی: ۱۳۹۵/۰۸/۲۲ پژوهش مقاله: ۱۳۹۴/۱۲/۱۷

### چکیده

فرساش بادی وسعتی بالغ بر ۲۰ میلیون هکتار از کشور پهناور ایران را در متأثر ساخته است. هفت میلیون هکتار از مناطق تحت تأثیر فرسایش بادی کانون‌های بحرانی نامیده می‌شود که کانون‌های جمعیتی، اراضی کشاورزی و مناطق صنعتی را در برمی‌گیرد. فرسایش‌پذیری خاک از مهم‌ترین شاخص‌های نشان‌دهنده پتانسیل فرسایش بادی در یک منطقه است. این شاخص بستگی به ویژگی‌های فیزیکی و شیمیایی ذاتی خاک دارد. منطقه مورد مطالعه حوضه دشت یزد-اردکان که در بخش شمالی استان یزد قرار دارد و در فلات مرکزی ایران گستردگی شده است. به منظور بررسی پتانسیل فرسایش‌پذیری بادی خشک‌رودها و مجاور آن‌ها ۸۳ نمونه خاک در کف و بستر خشکه رودها و مجاور آن‌ها در سه نوع دشت‌سر لخت، اپانداز و پوشیده برداشته شد و برروی نمونه‌ها به منظور محاسبه مقدار فرسایش‌پذیری آزمایشات فیزیکی و شیمیایی خاک صورت گرفت. مقدار فرسایش‌پذیری به دو روش دلگیلیچ و همکاران (۱۹۷۳)، مدل (۱) و عظیم‌زاده و همکاران (۱۳۸۰)، مدل (۲) بر حسب ton/ha-hr محاسبه شد. نتایج نشان داد که هر دو مدل در اراضی دشت‌سر پوشیده با بافت ریزدانه خاک از نوع Clay و Loam مقدار فرسایش‌پذیری را متوسط تا زیاد پیش‌بینی کرد و در اراضی دشت‌سرهای لخت و اپانداز که درصد پوشش سنگفرش متوسط تا زیاد می‌باشد، در مدل (۱) مقدار فرسایش‌پذیری را در بعضی نقاط کم و در بعضی نقاط دیگر متوسط تا زیاد به دست آمد ولی در مدل (۲) با در نظر گرفتن پوشش سنگفرش در تمامی نقاط دشت‌سرهای لخت و اپانداز کم بدست آمد. مدل (۱) بدون در نظر گرفتن رخسارهای مختلف ژئومورفولوژی، بیشتر در مورد بررسی میزان فرسایش‌پذیری بادی خاک در اراضی کشاورزی و دشت رسی با بافت ریزدانه خاک مناسب است و برآورد مقدار فرسایش‌پذیری را در قسمت میانی منطقه در مقایسه با مدل (۲) به درستی پیش‌بینی کرد. به منظور سهولت و کاهش دادن زمان و هزینه به منظور محاسبه فرسایش‌پذیری، مدل (۱) در اراضی بافت ریزدانه و کشاورزی و بدون سنگفرش شامل دشت‌سر پوشیده توصیه می‌شود. مدل (۲) در دشت‌سرهای لخت و اپانداز که دارای پوشش سنگفرش متوسط تا زیادی هستند، مدل مناسبی است و به منظور دقیق‌تر محاسبه فرسایش‌پذیری در دشت‌سر پوشیده علاوه بر پارامتر فیزیکی خاک، پارامترهای شیمیایی خاک هم که در عامل فرسایش‌پذیری دخالت دارند، مدل (۲) مناسب می‌باشد. به منظور کاهش فرسایش‌پذیری در دشت‌سرهای لخت و اپانداز با وجود درصد سنگفرش متوسط تا زیاد توصیه می‌شود هیچ‌گونه دستکاری بر روی پوشش سنگفرش انجام نشود و در دشت‌سر پوشیده اقداماتی نظیر احداث بادشکن در اراضی کشاورزی و مالج پاشی بر روی تپه‌های ماسه‌ای انجام شود.

واژگان کلیدی: فرسایش‌پذیری، فرسایش بادی، دشت‌سر لخت، دشت‌سر اپانداز، دشت‌سر پوشیده

## مقدمه

فرسایش بادی فرآیندی است که به سبب افزایش سرعت باد و در اثر تلاطم آن در سطح زمین عاری از پوشش ایجاد می‌گردد. این وضعیت در زمین‌های با خاک نرم، لخت، خشک، صاف و دارای دانه‌بندی ریز بیشتر مشهود است. فرسایش بادی فرآیندی با پیچیدگی بسیار است زیرا به شکل‌های مختلف چون کنده شدن، انتقال، دانه‌بندی، سایش و درنهایت رسوب انعام می‌گیرد. فرسایش بادی تأثیر عمده‌ای در کیفیت محیط دارد و سبب کم شدن میدان دید، آسودگی هوا، تصادف اتومبیل‌ها، خرابی وسایل مکانیکی و الکتریکی می‌شود. همچنین سبب کاهش عملکرد محصولات می‌گردد و عدم کنترل رسوبات بادی باعث پر شدن نهرهای آبیاری و پوشیده شدن جاده‌ها و ریل‌های راه‌آهن می‌شود (عظیم زاده و همکاران، ۱۳۸۰). فرآیند فرسایش بادی به عنوان پدیده تخرب زمین در سطح اراضی قابل کشاورزی در دنیا است. بدین لحاظ از مجموع ۱۶۰۰ میلیون هکتار اراضی تخرب یافته جهان تحت تأثیر فرسایش آبی و بادی، بیش از ۳۴ درصد تخرب زمین ناشی از فرسایش بادی است (اولدمن<sup>۱</sup>، ۱۹۹۴، پروسپرو و همکاران<sup>۲</sup>، ۲۰۰۲ و کالوت و همکاران<sup>۳</sup>، ۲۰۰۰). عوامل مؤثر در فرسایش بادی را می‌توان به دو دسته تقسیم نمود. دسته اول عوامل فرسایش زا و دسته دوم را می‌توان به عوامل فرسایش‌پذیر نام‌گذاری نمود. فرسایش زایی ارتباط با فیزیک باد و ویژگی‌های نظیر سرعت، تداوم، جهت و انرژی آن دارد. عوامل فرسایش‌پذیری به ویژگی‌های فیزیکی و شیمیایی خاک، همچنین شیوه‌های کشاورزی و کاربری اراضی وابسته است (هادسون<sup>۴</sup>، ۱۹۸۱). مکتباش و همکاران<sup>۵</sup> (۱۹۹۹) اندازه‌گیری‌هایی در مورد فرسایش بادی در زمین‌های مستعد فرسایش‌پذیری انجام داده است که مناطق مستعد فرسایش بادی را در استرالیا شناسایی کرده است. عظیم زاده و اختصاصی (۱۳۸۳)، ارتباط بین ویژگی‌های فیزیکی و شیمیایی خاک در سرعت آستانه فرسایش بادی با پارامترهای وضعیت پوشش سطحی خاک، پوشش سنگفرش، میانگین قطر ذرات، شوری و مقدار گج بدست آورده و ارتباط ریاضی طی مدل بدست آورده. نایت و همکاران<sup>۶</sup> (۱۹۹۵)، با بررسی بار رسوب در طوفان شنی در بیابان سیمپسون استرالیا مقدار فرسایش‌پذیری با خصوصیت قطر ذرات خاک را برآورد کرده و درنهایت یک مدل ریاضی را برای مقدار پیش‌بینی پیشنهاد دادند. عظیم زاده و همکاران (۱۳۸۰)، با مطالعه تأثیر خصوصیات فیزیکی-شیمیایی خاک در شاخص فرسایش‌پذیری بادی خاک با استفاده از دستگاه سنجش فرسایش بادی، دو مدل ریاضی را در دو منطقه دارای سنگفرش و فاقد آن جهت تخمین فرسایش‌پذیری خاک ارائه دادند. شائو و همکاران<sup>۷</sup> (۱۹۹۴) در حوضه Murrary-Darling با استفاده از دستگاه تشخیص و تعیین فرسایش بادی در منطقه مورد توانستند که خصوصیاتی از جمله خاک، پوشش گیاهی، مدیریت زمین و داده‌های آب و هوای را در محیط GIS مدل‌سازی کنند. لی و همکاران<sup>۸</sup> (۲۰۰۴) با شبیه‌سازی تونل باد به بررسی فرسایش‌پذیری اراضی ماسه‌زار تحت تأثیر فعالیت‌های انسان در منطقه جنوب شرق صحرا Tengger به این نتیجه رسیدند که ۱- فعالیت‌های انسانی مانند کشت می‌تواند فرسایش‌پذیری خاک ماسه‌بادی را سرعت ببخشد و ۲- درصد پوشش گیاهی عامل اصلی کاهش فرسایش است. در تحقیق یادشده برای درون‌یابی از فناوری کریجینگ استفاده شد. وب و همکاران<sup>۹</sup> (۲۰۰۹)، با بررسی تغییرات زمانی در دانه‌بندی خاک و دامنه فرسایش‌پذیری خاک‌های با کاربری کشاورزی و مرتع، مدل مفهومی از دینامیک فرسایش‌پذیری

<sup>1</sup> Oldeman

<sup>2</sup> Prospero et al.

<sup>3</sup> Callot et al.

<sup>4</sup> Hudson

<sup>5</sup> McTainish et al.

<sup>6</sup> Knight et al.

<sup>7</sup> Shao et al.

<sup>8</sup> Li et al.

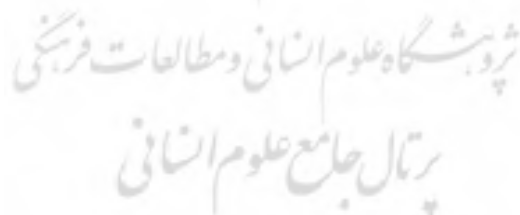
<sup>9</sup> Webb et al.

خاک ارائه نمودند که در ک بهتر از پویایی فرسایش‌پذیری خاک را نشان می‌دهد. کوسومانداری<sup>۱</sup> (۲۰۱۴)، با بررسی ۱۱ نمونه خاک در هفت مکان مختلف فضای سبز در شهر یوگیکارتا اندونزی و با اندازه‌گیری پارامترهای مختلف از جمله بافت خاک، ساختار خاک، نفوذپذیری خاک و ماده آلی با رابطه Wischmeier & Smith مقدار فرسایش‌پذیری را محاسبه کرد و به این نتیجه دست یافت که مقدار فرسایش‌پذیری در دامنه تغییرات ۰,۱۶ تا ۰,۲۹ قرار دارد که مقدار فرسایش‌پذیری در فضای سبز کم است. وب و همکاران (۲۰۰۶)، مدلی به نام AUSLEM (مدل فرسایش‌پذیری استرالیایی) ارائه دادند که این مدل می‌تواند مناطق مستعد فرسایش‌پذیری را در بازه‌های زمانی مختلف مثلاً در سال‌های ترسالی، خشکسالی و متوسط با فراوانی طوفان‌های شنی کم، متوسط و زیاد را شناسایی کند. وب و استرانگ<sup>۲</sup> (۲۰۱۱)، با بررسی کنترل دینامیک فرسایش‌پذیری در خاک‌های آبوه و مناطق دارای سله توانستند مدلی را برای محاسبه استاندارد مقدار فرسایش‌پذیری در زمینه محدوده مطالعاتی خود بدست بیاورند.

هدف تحقیق حاضر برآورد پتانسیل فرسایش‌پذیری بادی خاک در خشکرودها و مجاور آن‌ها در دشت‌سرهای لخت، اپانداز و اراضی ریزانه و کشاورزی واقع در دشت‌سر پوشیده با استفاده از دو مدل ارائه شده است. مدل اول بر مبنای درصد ذرات بزرگ‌تر از ۰/۸۴ میلی‌متر موجود در خاک (دلگلوبیچ و همکاران<sup>۳</sup>، ۱۹۷۳) و مدل دوم مبتنی بر ویژگی‌های فیزیکی و شیمیایی خاک (عظیم‌زاده و همکاران، ۱۳۸۰) در منطقه موردمطالعه می‌باشد.

## مواد و روش‌ها ویژگی منطقه موردمطالعه

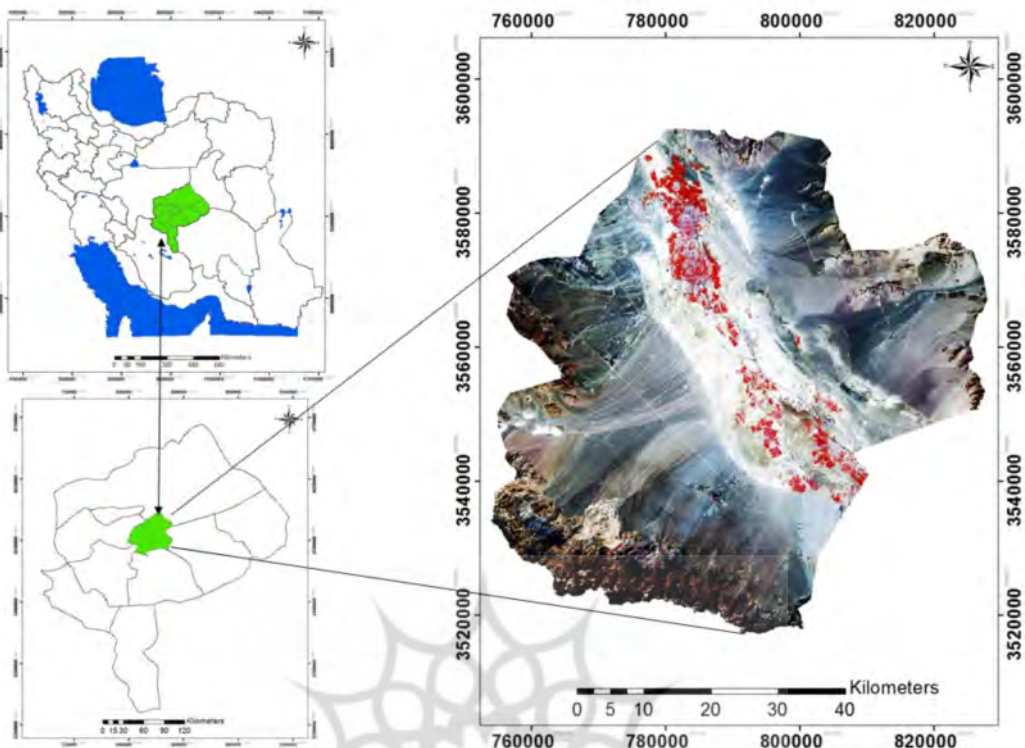
حوضه دشت یزد - اردکان با مساحت بالغ بر ۱۵۹۵۰,۷ کیلومترمربع، در بخش شمالی استان یزد قرار دارد و در حدود ۲۴,۹ درصد از مساحت کل استان را شامل می‌گردد که در محدوده عرض شمالی ۳۱ درجه ۴۸ دقیقه و ۳۲ درجه ۱۳ دقیقه و طول شرقی ۵۲ درجه و ۵۷ دقیقه و ۵۴ درجه و ۵۹ دقیقه فلات مرکزی ایران گسترده شده است. این حوضه مستطیل شکل به وسیله رشته‌کوه‌های شیرکوه، آهنگران، مرغ زرد، هفت آدمین، خونزا و کوه چک محصور گردیده و با شیب عمومی جنوب شرقی-شمال غربی به چاله سیاه کوه تخلیه می‌شود (اختصاصی و همکاران، ۱۳۷۵).



<sup>1</sup> Kusumandari

<sup>2</sup> Webb and Strong

<sup>3</sup> Dolgilevich et al. (1973), from R.P.C. Morgan

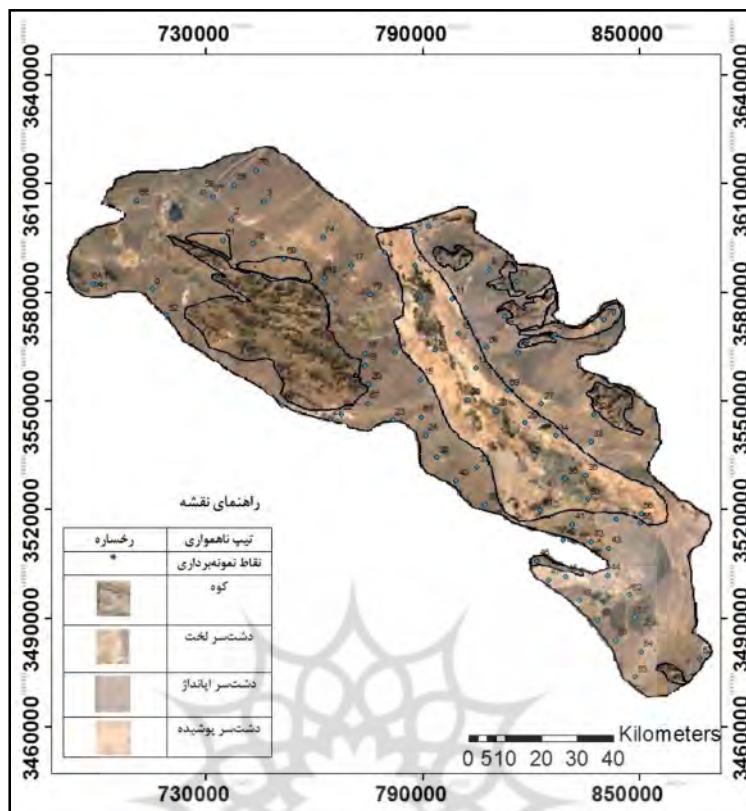


شکل ۱: دشت یزد-اردکان، محدوده مورد مطالعه

### روش کار

در منطقه مطالعه ۸۳ نمونه خاک در ۳ نوع دشتسر، لخت، اپانداز و پوشیده از عمق ۰ تا ۲۰ سانتیمتر برداشته شد. این عمق مبین ویژگی‌های خاک و رسوباتی است که در بستر آبراهه‌ها و تعدادی نقاط در مجاور آبراهه‌ها قرار دارد. بیشتر تعداد نمونه‌ها در خشکه رودها و مجاور آن‌ها با تراکم زیاد و تعدادی نمونه در دشتسر پوشیده در اراضی دشت رسی با پوشش گیاه تاغ و اراضی کشاورزی برداشته شد (شکل ۲).

پژوهشگاه علوم انسانی و مطالعات فرهنگی  
پرستال جامع علوم انسانی



شکل ۲: نقشه ژئومورفولوژی منطقه مورد مطالعه

برای محاسبه فرسایش‌پذیری بادی خاک بر حسب تن در هکتار بر ساعت (ton/ha-hr) از روش دلگیلویچ و همکاران (۱۹۷۳) تحت عنوان مدل (۱) و عظیم‌زاده و همکاران (۱۳۸۰) به عنوان مدل (۲) استفاده شد.

در مدل (۱) برای محاسبه فرسایش‌پذیری با بدست آوردن درصد ذرات بیشتر از ۸۴٪ میلی‌متر در تمامی رخساره‌ها انجام شد (جدول ۱).

جدول ۱: برآورد فرسایش‌پذیری بادی (دلگیلویچ و همکاران، ۱۹۷۳)، مدل (۱)

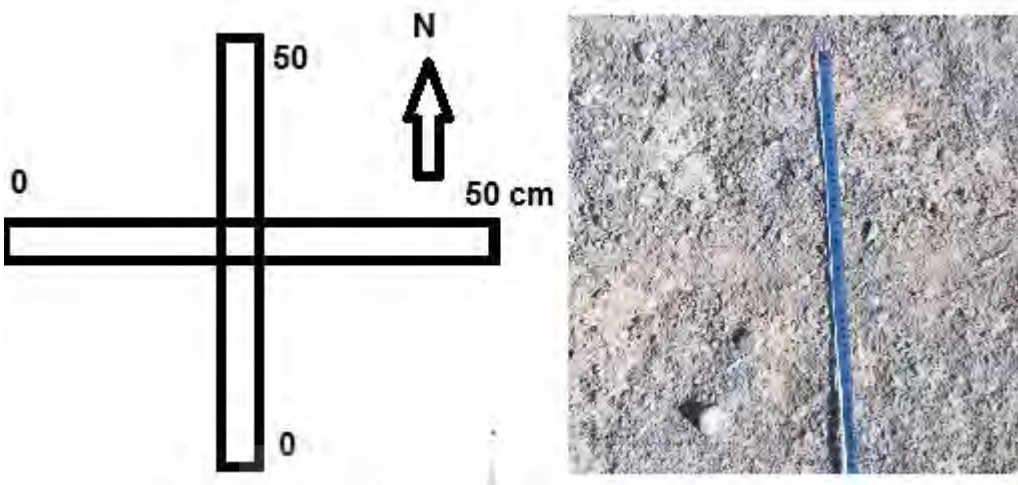
فرسایش‌پذیری (ton/ha-hr)	کمتر از ۰/۵	۰/۵-۱/۵	۱/۵-۵	۵-۱۵	۱۵-بیشتر از ۱۵	درصد ذرات بزرگ‌تر از ۸۴٪ میلی‌متر
بیشتر از ۰/۵	۰/۵-۱/۵	۱/۵-۵	۵-۱۵	۱۵-بیشتر از ۱۵	۲۰-۵۰	۵۰-۷۰

در مدل (۲) برای نقاطی که در دشتسر لخت و اپانداز قرار داشتند، از اطلاعات درصد سنگفرش و قطر میانه آن‌ها استفاده شد ولی در نقاط واقع در دشتسر پوشیده، علاوه بر پارامترهای فیزیکی نظیر بافت خاک از پارامترهای شیمیابی خاک از جمله SAR و EC نیز مورد بررسی قرار گرفتند.

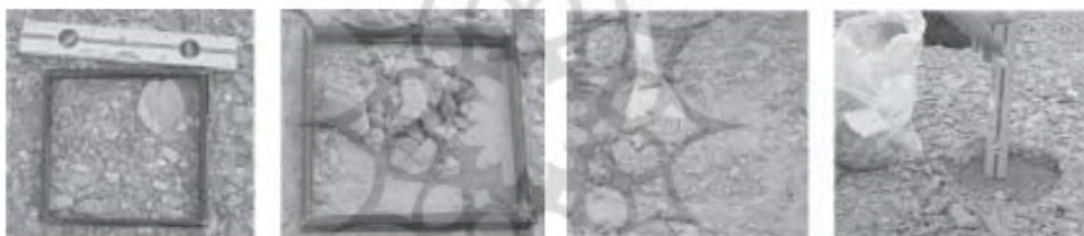
درصد سنگفرش سطحی به روش میکروترانسکت طولی (شامل دو ترانسکت ۵۰ سانتی‌متری) صورت گرفت، شکل (۳). در هر نقطه برداشت، درصد رگ با سه تکرار به ثبت رسید. سپس در سطحی به ابعاد ۲۰×۲۰ سانتی‌متر مربع نمونه‌برداری رگ سطحی انجام و با ثبت اطلاعات جهت آزمایش ذخیره گردید شکل (۴) (اختصاصی و همکاران، ۱۳۸۸). همچنین بافت خاک و اجزاء آن به روش الک خشک و اجزاء کوچک‌تر از دو میلی‌متر روش هیدرومتری اندازه‌گیری شد (جی و بودر، ۱۹۸۶). قطر میانه و درصد ذرات بیشتر از ۸۴٪ میلی‌متر با استفاده از درصد رس، سیلت و شن بدست آمد. در مورداندازه‌گیری SAR آزمایشاتی از جمله اندازه‌گیری هدایت الکتریکی با هدایت سنج، سدیم با استفاده از فیلم

<sup>۱</sup> Gee and Bauder

فتومنتر (کیتسون و ملون<sup>۱</sup>، ۱۹۴۴)، کلسیم و منیزیم با روش تیتراسیون با EDTA (ایرز و کمبل<sup>۲</sup>، ۱۹۵۱) اندازه‌گیری شد و در نهایت نسبت جذب سدیم بدست آمد.



شکل ۳: نحوه اندازه‌گیری پوشش سنگفرش در دو ترانسکت عمود برهم در نقاط نمونه‌برداری



شکل ۴: نحوه نمونه‌برداری از پوشش سنگفرش، خاک و رسوب در نقاط مورد مطالعه برای محاسبه فرسایش‌پذیری بادی خاک با استفاده از مدل (۱) از فرمول شماره (۱) حاصل از جدول (۱) محاسبه شد.

$$I = -10.59 \ln(d0.84) + 46.648 \quad (1)$$

که در فرمول (۱)، I فرسایش‌پذیری بادی خاک برحسب (ton/ha-hr) و d<sub>۰.۸۴</sub>، درصد ذرات خاک بیشتر از ۸۴٪ میلی‌متر است.

برای محاسبه فرسایش‌پذیری بادی خاک با استفاده از مدل (۲) در نقاط بدون سنگفرش از معادله (۲) و در نقاطی که دارای سنگفرش است از معادله (۳) استفاده شد.

$$I = 2784.4 \exp \left\{ 0.25 \frac{SAR}{EC} \exp(-d^2) \right\} - 2717.7 \quad (2)$$

که در معادله (۲)، I: شاخص فرسایش‌پذیری خاک برحسب kg/ha-hr در اراضی بیابانی دارای سله رسی-نمکی SAR: نسبت سدیم جذب سطحی شده (meq/lit)، EC، هدایت الکتریکی عصاره اشباع خاک (dS/m) و d: میانگین قطر ذرات خاک در لایه ۰-۵ cm است.

$$I = 45.13 \left( \frac{100}{SG} e - d^2 \right) + 25.478 \quad (3)$$

<sup>1</sup> Kitson and Mellon

<sup>2</sup> Ayers and Campbell

در معادله (۳)، I: شاخص فرسایش‌پذیری بادی خاک بر حسب kg/ha-hr در اراضی بیابانی سنگفرشی، SG: درصد سنگریزه سطحی، d: میانگین قطر ذرات خاک در لایه (cm<sup>0-5</sup>) با احتساب قطر سنگریزه سطحی سنگفرش است. به منظور تعیین حد کفايت نمونه‌برداری، از فرمول کربز (۱۹۹۹)، معادله (۴) استفاده شد.

$$Nsampel = \frac{t\alpha^2 \times CV^2}{d^2} \quad (4)$$

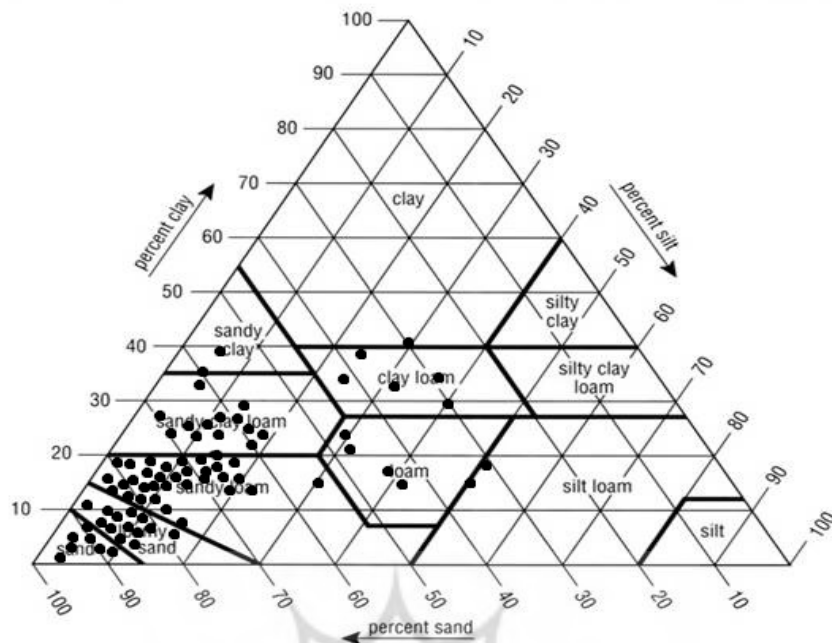
که در آن، N<sub>sample</sub> تعداد نمونه موردنیاز، tα<sup>2</sup> مقدار t (در سطح معناداری ۵ درصد، معادل ۱/۹۶ با در نظر گرفتن درجه آزادی بی‌نهایت)، CV ضریب تغییرات، d نسبت صحت موردنیاز است.

### نتایج و بحث

با توجه به شکل (۵)، اکثر بافت خاک منطقه از نوع Sandy Loam<sup>۱</sup> است. بطوریکه از ۸۳ نمونه، ۳۳ مورد را به خود اختصاص داده است. سپس بافت Loamy Sand<sup>۲</sup> که ۱۶ عدد است و بعداز آن به ترتیب Sandy Clay Loam<sup>۳</sup>، Sandy Clay<sup>۴</sup>، Silt Loam<sup>۵</sup>، Loam<sup>۶</sup>، Clay Loam<sup>۷</sup>، Sand<sup>۸</sup> و در آخر Clay<sup>۹</sup> می‌باشد. که نشان‌دهنده این این است که منطقه مورد مطالعه درصد زیاد شن در سه نوع دشت‌سرهای لخت، اپانداز و پوشیده دارد.



<sup>۱</sup>لومی شنی  
<sup>۲</sup>شنی لومی  
<sup>۳</sup>لومی رسی شنی  
<sup>۴</sup>شنی  
<sup>۵</sup>لومی رسی  
<sup>۶</sup>رس  
<sup>۷</sup>لوم سیلت  
<sup>۸</sup>رسی شن  
<sup>۹</sup>رس



شکل ۵: مثلث بافت خاک

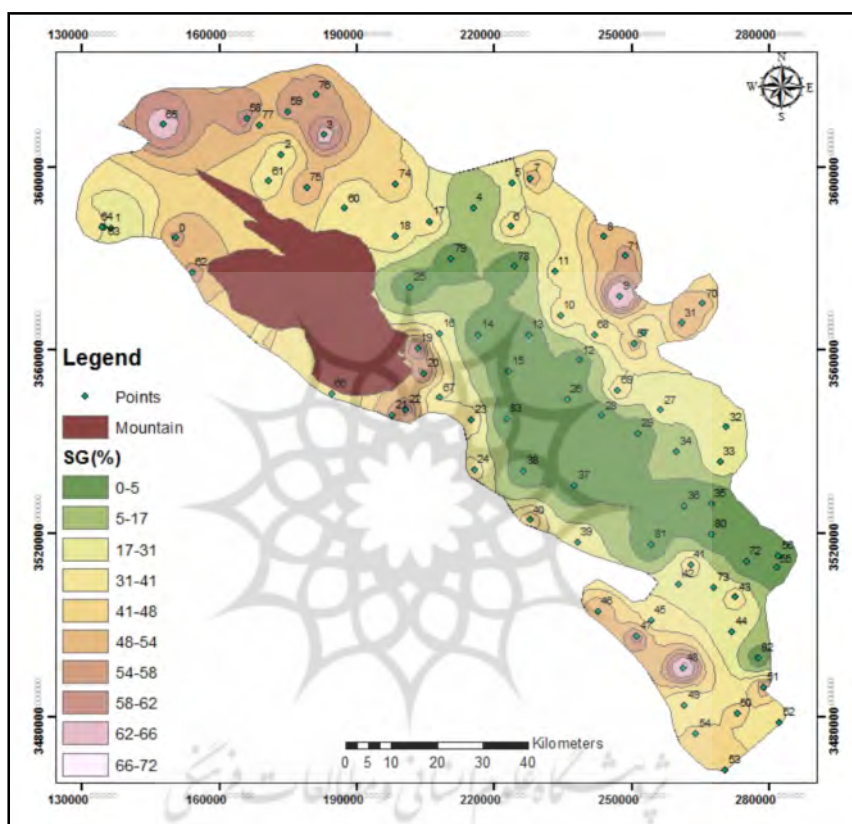
با توجه به جدول (۲) که آمار توصیفی برخی ویژگی‌های فیزیکی و شیمیایی نمونه‌های اندازه‌گیری ۸۳ نمونه خاک است، تمامی پارامترهای فیزیکی و شیمیایی نمونه‌های خاک اندازه‌گیری شده شامل درصد سنگفرش بیابانی، هدایت الکتریکی عصاره اشباع، نسبت جذب سدیم، قطر میانه و درصد ذرات بزرگ‌تر از  $0.084\text{ mm}$  میلی‌متر در آزمون کولومگروف-اسمیرنوف<sup>۱</sup>، دارای توزیع نرمال‌اند و همچنین از لحاظ درصد حد کفايت نمونه هم قابل قبول می‌باشند بطوريکه کمتر از ۸۳ مورد نمونه‌برداری هم کفايت دارد. در مورد هدایت الکتریکی عصاره اشباع (EC) و نسبت جذب سدیم (SAR)، در رخساره دشت‌سر پوشیده مورد بررسی قرار گرفت که به تعداد ۱۶ نمونه رسید. با توجه به جدول (۲) دامنه EC از  $0.015$  تا  $0.025$  dS/m تغییر می‌کند و از لحاظ شوری در طبقه کم تا متوسط قرار گرفت. همچنین در مورد SAR دامنه تغییرات آن از  $0.003$  تا  $0.0127$  meq/l تغییر می‌کند و از لحاظ درجه قلیاییت در رده متوسط تا قلیا قرار گرفت.

جدول ۲: آمار توصیفی مربوط به پارامترهای اندازه‌گیری شده در خاک

d>0.84(mm)	d50(mm)	SAR(meq/l)	EC(ds/m)	SG(%)	مشخصات خاک
۸۳	۸۳	۱۶	۱۶	۸۳	تعداد نمونه
۲	$0.003$	$5/3$	$1/5$	۰	حداقل
۶	$0.9$	$125/6$	۶	۸۰	حداکثر
$3/86 \pm 0.097$	$0.084 \pm 0.098$	$30/83 \pm 29/6$	$3/27 \pm 1/39$	$38/22 \pm 24/32$	$\mu \pm stdv$
$0.0376$	$0.263$	$0.228$	$0.166$	$0.127$	سطح معناداری
۵	۲۵	۲۵	۱۰	۵	k-s آزمون
					درصد خطای حد
					کفايت نمونه

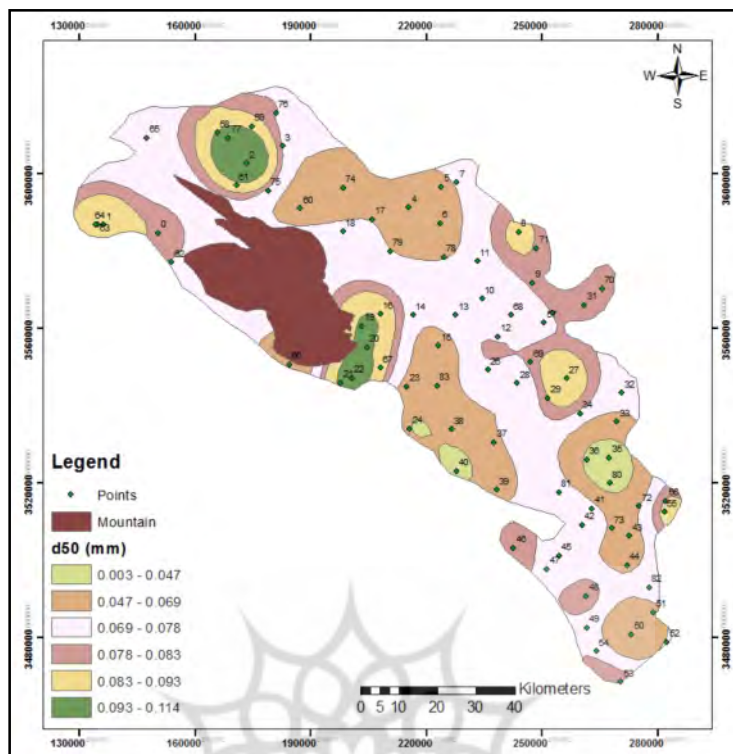
<sup>1</sup> Kolomogrov-Smirnov

شکل (۶) تغییرات درصد سنگفرش در منطقه موردمطالعه را نشان می‌دهد. دامنه تغییرات مقدار سنگفرش در دشت‌سرهای لخت و اپانداز بین ۳۰ تا ۸۰٪ درصد است و در قسمت مرکزی منطقه مطابق شکل (۲) در خشکه رودهای دشت‌سرهای پوشیده دارای تغییراتی بین صفر تا ۵٪ درصد است. بیشترین مقدار سنگفرش در قسمت‌های شمالی و جنوبی منطقه و کمترین مقدار سنگفرش در قسمت مرکزی منطقه قرار دارد.



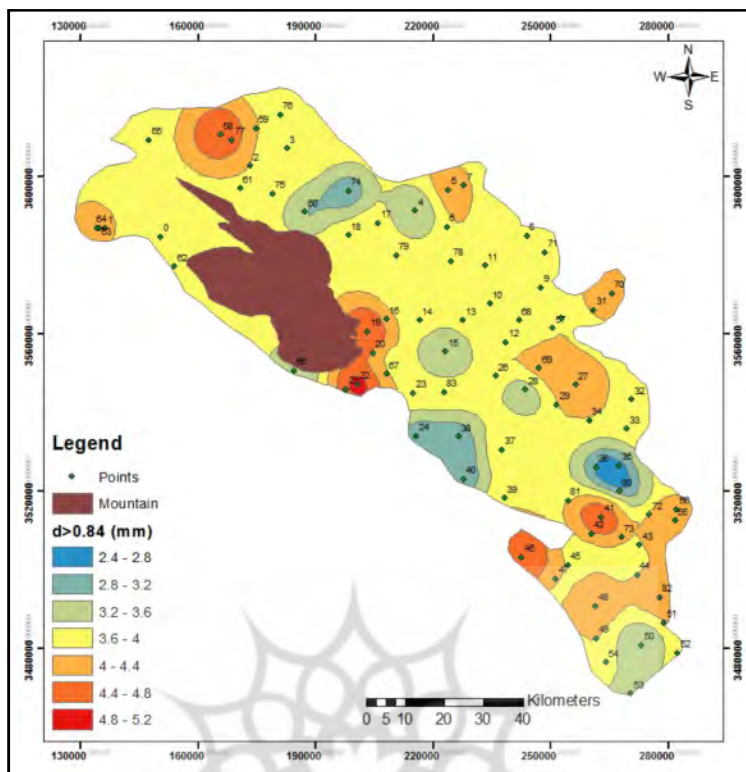
شکل ۶: پهنه‌بندی درصد سنگفرش منطقه موردمطالعه

در شکل (۷) تغییرات قطر میانه رسوبات در منطقه موردمطالعه در دشت‌سرهای لخت، اپانداز و پوشیده ارائه شده است. نتایج حاصل از قطر میانه ( $d_{50}$ ) نشان می‌دهد که دامنه آن از ۰/۰۳ تا ۱/۰ میلی‌متر تغییر می‌کند در قسمت‌های شمالی و غربی که قطر میانه آن‌ها زیاد است و در کلاس ۰/۰۹ تا ۱/۰ میلی‌متر قرار گرفته‌اند نشان‌دهنده خاک‌های درشت‌دانه از جمله خاک‌های Sand و Loamy sand Sandy loam با تراکم خاک‌ها پتانسیل فرسایش‌پذیری بالایی دارند و در قسمت‌های شمالی، جنوب غربی و جنوب شرقی که دامنه قطر میانه آن‌ها از ۰/۰۶۹ تا ۰/۰۳ تغییر می‌کند، قطر میانه آن‌ها کم است و نشان‌دهنده خاک‌های ریز‌دانه از نوع Clay Loam و Loam است و این خاک‌ها در مقابل فرسایش بادی مقاوم هستند و فرسایش‌پذیری کمی دارند. بیشترین مقدار قطر میانه در دامنه ۰/۰۶۹ تا ۰/۰۷۸ میلی‌متر قرار دارد که در طبقه متوسط قرار گرفته و از قسمت‌های جنوبی تا میانی و تا شمال غربی منطقه گستردگی داشته است.



شکل ۷: پهنه‌بندی قطر میانه منطقه مورد مطالعه

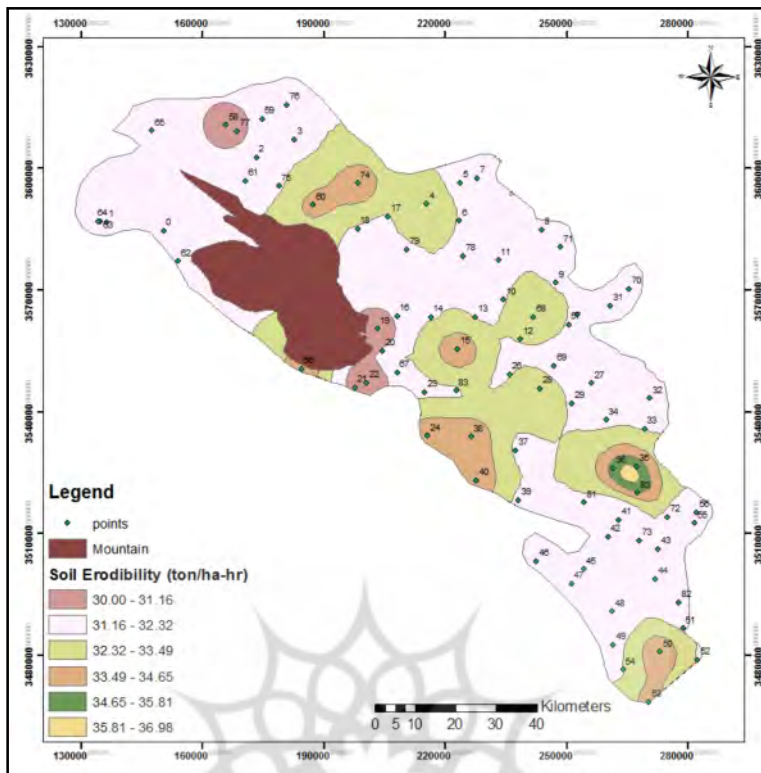
شکل (۸) پهنه‌بندی درصد ذرات بزرگتر از  $0.083\text{ mm}$  میلی‌متر را در منطقه مورد مطالعه نشان داده شده است. دامنه تغییرات از  $2/4$  تا  $5/2$  میلی‌متر تغییر می‌کند. بیشترین دامنه تغییرات درصد ذرات بیشتر از  $0.083\text{ mm}$  میلی‌متر منطقه مطالعه در طبقه  $3/6$  تا  $4/0$  میلی‌متر در قسمت میانی و شمال غربی منطقه قرار گرفت. در قسمت‌های غربی و جنوب شرقی، درصد ذرات بزرگتر از  $0.083\text{ mm}$  میلی‌متر آن‌ها به دلیل بافت ریزدانه خاک از نوع Clay loam و Loam کم بود. در قسمت‌های شمالی، شرقی و جنوبی، درصد ذرات آن‌ها به دلیل بافت درشت‌دانه خاک از نوع Loamy sand و Sand زیاد شد که تغییرات آن بین  $4/0$  تا  $5/2$  میلی‌متر شد.

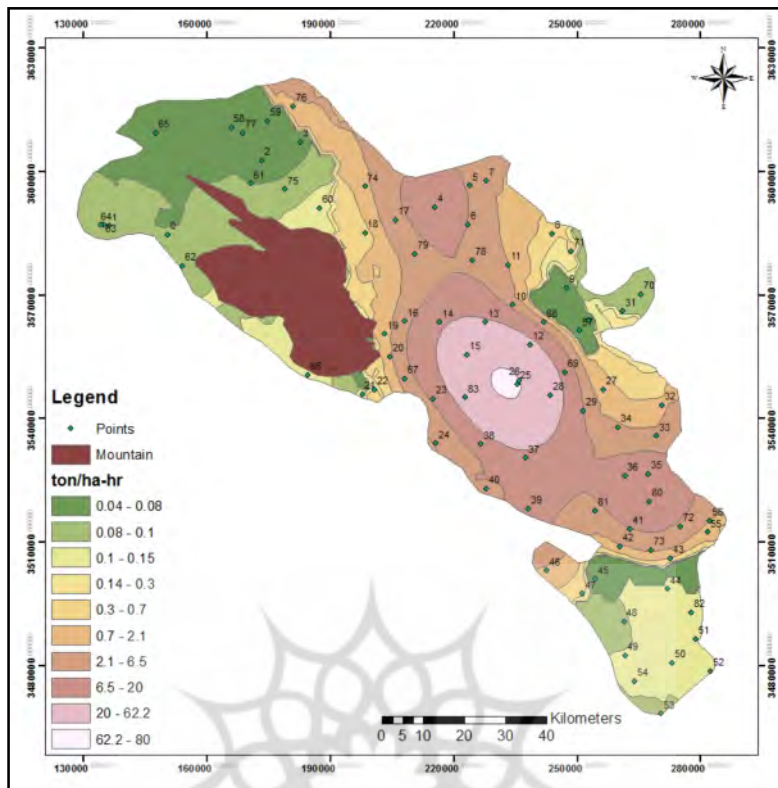


شکل ۸: پهنه‌بندی درصد ذرات بزرگ تر از ۰/۸۴ متر در مطالعه

شکل (۹)، پهنه‌بندی فرسایش‌پذیری با استفاده از مدل (۱) می‌باشد. دامنه تعییرات فرسایش‌پذیری از ۳۰ تا ۳۶/۹۸ تن در هکتار بر ساعت متغیر است که بیشتر منطقه در قسمت دوم طبقه‌بندی از ۳۱/۱۶ تا ۳۲/۳۲ تن در هکتار بر ساعت متغیر شد و در قسمت‌های جنوبی، میانی و شمال غربی منطقه مشاهده می‌شود. بیشترین مقدار فرسایش‌پذیری در قسمت جنوب شرق دشت یزد شامل نقاط ۳۵، ۳۶ و ۸۰ که اراضی رسی و ریزدانه از نوع Clay loam است و کمترین آن در قسمت جنوب غرب و شمال شرقی دشت که شامل دشت‌سرهای اپانداز و فرسایشی و دارای بافت خاک درشت‌دانه از نوع Loamy sand می‌باشد.

پرستادج علم انسانی  
پرستادج علم انسانی





شکل شماره ۱۰: پهنه‌بندی فرسایش پذیری به روش عظیم زاده و همکاران (۱۳۸۰)، مدل (۲)

مدل (۱) فقط یک پارامتر فیزیکی خاک را (درصد ذرات بزرگتر از ۸۴/۰ میلی‌متر) به منظور محاسبه فرسایش پذیری در نظر می‌گیرد که در قسمت میانی منطقه، فرسایش پذیری را متوسط تا زیاد ولی در نقاط مختلف منطقه که شامل دشت-سرهای لخت و اپانداز که دارای سنگفرش متوسط تا زیاد می‌باشد در قسمت‌های کوچک و محدود منطقه در نقاط واقع در شمال شرق و جنوب غرب منطقه، مقدار فرسایش پذیری را کم و در بقیه قسمت‌های منطقه زیاد پیش‌بینی کرد. در مدل (۲) برای محاسبه فرسایش پذیری علاوه بر خصوصیات فیزیکی خاک از جمله قطر میانه (d50) و درصد پوشش سنگفرش، خصوصیات شیمیابی را از جمله شوری و نسبت جذب سدیم خاک را هم در نظر گرفته است که با توجه به شکل (۱۰) در قسمت‌های میانی منطقه شامل اراضی کشاورزی و دشت رسی مقدار فرسایش پذیری را همانند مدل (۱) متوسط تا زیاد پیش‌بینی کرده است و در دشت‌سرهای لخت و اپانداز واقع در قسمت‌های شمالی، شمال غربی و جنوبی باوجود پوشش سنگفرش متوسط تا زیاد بخلاف مدل (۱)، فرسایش پذیری را خیلی کمتر نسبت به مدل (۱) برآورد کرد. پوشش سنگفرش بخشی از نیروی فرسایندگی باد را به واسطه افزایش زبری سطح کاهش می‌دهد و قسمت‌هایی که پوشش سنگفرش وجود دارد فرسایش پذیری کم است از سوی دیگر پوشش اجزاء درشت، کاهش فرسایش پذیری بادی خاک را به همواره دارد. نتایج تحقیق حاضر از مدل (۲) در مورد تأثیر پوشش سنگفرش بر روی فرسایش پذیری در دشت-سرهای لخت و اپانداز با نتایج (عظیم زاده و اختصاصی، ۱۳۸۳)، (عظیم زاده و فتوحی، ۱۳۹۱) و (عظیم زاده و همکاران، ۱۳۸۰) همخوانی دارد.

بویوکوس<sup>۱</sup> (۱۹۳۵)، برای محاسبه مقدار فرسایش پذیری، یک فرمول ساده‌ای را با توجه به درصد رس، سیلت و شن توسعه داد. ویسچمیر و اسمیت<sup>۲</sup> (۱۹۷۸)، برای پیش‌بینی عامل فرسایش پذیری در معادله جهانی تلفات خاک (USLE)، پارامترهایی از جمله شن درشت (شن خیلی ریز+سیلت) در مقابل درصد ماده آلی مؤثر می‌دانند. استوارات و همکاران

<sup>1</sup> Bouyoucos

<sup>2</sup> Wischmeier and Smith

(۱۹۷۵)، بزرگی مقدار فرسایش‌پذیری را به محتوای ماده آلی در بافت‌های مختلف خاک می‌داند. توری و همکاران<sup>۱</sup> (۱۹۹۷) و ویلیامز<sup>۲</sup> (۱۹۹۵) معادله‌ای را با توجه به خصوصیات بافت خاک برای محاسبه فرسایش‌پذیری بدست آوردند. ایگو و همکاران<sup>۳</sup> (۱۹۹۵) و ویه<sup>۴</sup> (۲۰۰۲) برای محاسبه فرسایش‌پذیری، کسری از شن و شن/سیلت را پیشنهاد کردند. رومکنز و همکاران<sup>۵</sup> (۱۹۹۷) فقط قطر میانه هندسی (Dg) را برای محاسبه فرسایش‌پذیری مؤثر می‌داند. دیمویانیس و همکاران<sup>۶</sup> (۱۹۹۸) و فریسر<sup>۷</sup> (۱۹۹۹) کسری از رس را به عنوان کلیدی مهم در تغییرات فرسایش‌پذیری مؤثر دانستند. دوبیکر و همکاران<sup>۸</sup> (۲۰۰۱) ارتباط همبستگی بالایی بین فرسایش‌پذیری با سیلت و شن خیلی ریز پیدا کردند. پریسو و همکاران<sup>۹</sup> (۲۰۰۳) درصد شن/ (شن خیلی ریز+سیلت) را به عنوان مهم‌ترین عامل در تغییرات مقدار فرسایش‌پذیری را مؤثر دانست. ژنگ و همکاران<sup>۱۰</sup> (۲۰۰۴) یک معادله خطی بین فرسایش‌پذیری و محتوای رس بدست آوردند. پرس-رودریگز و همکاران<sup>۱۱</sup> (۲۰۰۷) در تهیه نقشه‌های فرسایش‌پذیری در مادرید اسپانیا، مقدار سیلت در مقابل ساختار خاک را یکی از فاکتورهای مهم در فرسایش‌پذیری می‌داند.

### نتیجه‌گیری

فرسایش‌پذیری یک مبحث بسیار مهمی است بخصوص در مناطقی که فرسایش بادی زیاد است. در اراضی دشت رسی، اراضی کشاورزی و یا مناطق دارای تپه‌های ماسه‌ای باید راهکارهای مناسبی برای کمتر کردن فرسایش‌پذیری انجام داد به طور مثال اقداماتی نظیر احداث بادشکن در اراضی کشاورزی و مالج پاشی بر روی تپه‌های ماسه‌ای انجام شود. همچنین در مناطقی که سنگفرش بیابانی زیادی دارد توصیه می‌شود هیچ‌گونه دستکاری بر روی آن‌ها انجام نشود و کوشش برای حفاظت از آن‌ها باشد. مدل (۱) بدون در نظر گرفتن رخسارهای مختلف ژئومورفولوژی بیشتر در مورد بررسی میزان فرسایش‌پذیری بادی خاک در اراضی کشاورزی مناسب است و برآورد مقدار فرسایش‌پذیری را در قسمت میانی منطقه در مقایسه با مدل (۲) به درستی پیش‌بینی کرد. به‌منظور سهولت و کاهش دادن زمان و هزینه به‌منظور محاسبه فرسایش‌پذیری، مدل (۱) بررسی شده در تحقیق حاضر در اراضی بافت ریزدانه و بدون سنگفرش شامل دشت‌سر پوشیده توصیه می‌شود. مدل (۲) در دشت‌سرهای لخت و اپانداز که دارای پوشش سنگفرش متوسط تا زیادی هستند، مدل مناسبی است و به‌منظور دقیق‌تر محاسبه فرسایش‌پذیری در دشت‌سر پوشیده علاوه بر پارامتر فیزیکی خاک، پارامترهای شیمیایی خاک هم که در عامل فرسایش‌پذیری دخالت دارند، مدل (۲) مناسب می‌باشد.

### منابع

- اختصاصی، محمد رضا و همکاران، ۱۳۷۵، منشاً یابی تپه‌های ماسه‌ای حوضه دشت یزد-اردکان، موسسه تحقیقات جنگل‌ها و مرتع کشور.
- اختصاصی، محمد رضا و همکاران، ۱۳۸۸، مکان‌یابی شبکه ایستگاه‌های سنجش و پایش فرسایش بادی کشور، سازمان جنگل‌ها، مرتع و آبخیزداری کشور، ۳۹۶ ص.

<sup>1</sup> Stewart et al.

<sup>2</sup> Torri et al.

<sup>3</sup> Williams

<sup>4</sup> Igwe et al.

<sup>5</sup> Veihé

<sup>6</sup> Romkens et al.

<sup>7</sup> Dimoyiannis et al.

<sup>8</sup> Fraser

<sup>9</sup> Duiker et al.

<sup>10</sup> Parysow et al.

<sup>11</sup> Zhang et al.

<sup>12</sup> Perez-Rodriguez et al.

- عظیم زاده، حمیدرضا و همکاران، ۱۳۸۰، مطالعه تأثیر خصوصیات فیزیکی- شیمیایی خاک در شاخص فرسایش پذیری بادی خاک و ارائه مدل جهت پیشگویی آن در دشت یزد-اردکان، مجله علوم کشاورزی و منابع طبیعی، سال نهم، شماره اول.
- عظیم زاده، حمیدرضا و محمدرضا اختصاصی، ۱۳۸۳، فرسایش بادی: بررسی تأثیر خصوصیات فیزیکی و شیمیایی خاک در سرعت آستانه فرسایش بادی (مطالعه موردی دشت یزد-اردکان)، مجله منابع طبیعی ایران.
- عظیم زاده، حمیدرضا و فرزانه فتوحی، ۱۳۹۱، بررسی کمی اثرات سنگفرش بیابان در فرسایش پذیری بادی خاک (مطالعه موردی: بخشی از دشت یزد-اردکان)، فصلنامه علمی-پژوهشی تحقیقات مرتع و بیابان ایران، جلد ۲۰، شماره ۴، ۷۰۵-۶۹۵.
- Ayers, A.D. and Campbell, R.B. 1951: Freezing point of water in a soil as related to salt and moisture contents of the soil.
- Bouyoucos, G.J. 1935: The clay ratio as a criterion of susceptibility of soils to erosion. *Journal of Am. Soc. Of Agron*, No. 27, pp. 738-741.
- Callot, Y., Marticorena, B., and Bergametti, G. 2000: Geomorphologic approach for modelling the surface features of arid environments in a model of dust emissions: application to the Sahara desert. *Geodinamica Acta*, Vol. 13, No. 5, pp. 245-270.
- Delgilevich et al. 1973, from Morgan, R. P. C. 2010: Soil erosion and conservation. National soil resources institute, Cranfield university, Blackwell publishing, third edition., chapter 3.
- Dimoziannis, D.G., Flanagan, C.D., and Valmis, S. 1998: Factors affecting aggregate instability of Greek agriculture soils. *Commun. Soil Sci. Plant Anal.* No. 29, pp. 1239-1251.
- Duiker, S.W., Flanagan, D.C., and Lal, R. 2001: Erodibility and infiltration characteristics of five major soils of southwest Spain, *Catena*, No. 45, pp. 103-121.
- Fraser, R.H. 1999: SEDMOD: a GIS-Based delivery model for diffuse source pollutants: New Haven. Yale university PhD, Thesis, Conn. (99 pp).
- Gee, G.W. and Bauder, J.W. 1986: Particle size analysis. In: Klute (ed), *Methods of soil Analysis*. Part 1. 2<sup>nd</sup> edition. Agron. Monogr. 9. ASA and SSSA, Madison, WI. Pp. 404-407.
- Hudson, N. W. 1981: *Soil conservation*. Bastford 230p.
- Igwe, C.A., Akamigbo, F.O., and Mbagwu, J.S. 1995: The use of some soil aggregate indices to assess potential soil loss in soils of south-eastern Nigeria. *Int. Agrophys.* Vol. 9, No. 2, pp. 95-100.
- Kitson, R.E., and Mellon, M.G. 1944: Colorimetric determination of phosphorus as molybdivanadophosphoric acid. No. 16, pp. 79-83.
- Knight, A. W., McTainish G.H., and Simpson, R.W. 1995: Sediment loads in an Australian dust storm: implications for present and past dust processes, *Catena*, No. 24, pp. 195-213.
- Kusumandari, A. 2014: Soil erodibility of several types of green open space areas in Yogyakarta city, Indonesia, The 4<sup>th</sup> International Conference on Sustainable Future for Human Security, *Procedia Environmental Sciences*.
- Li, X.Y., Liu, L.Y., and Wang, J.H. 2004: Wind tunnel simulation of Aeolian sandy soil erodibility under human disturbance, *Geomorphology*, No. 59, pp. 3-11.
- McTainish, G.H., Leys, J.F., and Nickling, W.G. 1999: Wind erodibility of arid lands in the channel country of western Queensland, Australia. *Zeitschrift fur Geomorphologie N.F.* Supplementband, No. 116, pp. 113-130.
- Oldeman, L.R. 1994: The global extent of soil degradation. In: Greenland, D.J., Szabolcs, I. (Eds.), *Soil Resilience and Sustainable Land Use*. CAB International, pp. 99-118. Chapter 7.
- Parysow, P., Wang, G., Gertner, G., and Anderson, A. 2003: Spatial uncertainty analysis for mapping soil erodibility on joint sequential simulation. *Catena*, No. 53, pp. 65-78.
- Perez-Rodriguez, R., Marques, M.J., and Bienes, R. 2007: Spatial variability of the soil erodibility parameters and their relation with the soil map at subgroup level. *Sci. Total Environ.* No. 378, pp. 166-173.
- Prospero, J.M., Ginoux, P., Torres, O., Nicholson, S.E., and Gill, T.E. 2002: Environmental characterization of global sources of atmospheric soil dust identified with the Nimbus 7 Total Ozone Mapping Spectrometer (TOMS) absorbing aerosol product. *Reviews in Geophysics*, Vol. 40, No. 1, pp. 1-26.

- Romkens, M.J.M., Young, R.A., Poesen, J.W.A., McCool, D.K., El-Swaify, S.A., and Bradford, J.M. 1997: Soil erodibility factor ( $K$ ). (Compilers) In: Renard K.G., G.R. Foster, G.A. Weesies, D.K. McCool, D.C. Yoder, editors. *Predicting soil erosion by water: A guide to conservation planning with the revised universal soil loss equation (RUSLE)*, Agric. HB No. 703, USDA, Washington DC, USA, pp. 65-99.
- Shao, Y., Raupach, M., and Short, D. 1994: *Preliminary assessment of wind erosion patterns in the Murray-Darling Basin*. Australian Journal of Soil and Water Conservation, Vol. 7, No. 3, pp. 46-51.
- Stewart, B.A., Woolhiser, D.A., Wischmeier, W.H., Caro, J.H., and Freere, M.H. 1975: *Control of water pollution from cropland*. Vols. I, Report EPA-600. US Environmental Protection Agency, Washington DC, USA.
- Torri, D., Poesen, J., and Borselli, L. 1997: *Predictability and uncertainty of the soil erodibility factor using a global dataset*. Catena, Vol. 31, No. 1, pp. 1-22.
- Vaezi, A.R., Hassanzadeh, H., Cerdá, A. 2016: *Developing an erodibility triangle for soil textures in semi-arid regions, NW Iran*, Catena, No. 142, pp. 221-232.
- Veihé, A. 2002: *The Spatial Variability of Erodibility and Its Relation to Soil Types: A Study from Northern Ghana*. Geoderma, No. 106, pp. 101-120.
- Webb, N. P., McGowan, H.A., Phinn, S.R., and McTainish, G.H. 2006: *AUSLEM (AUSTRalian Land Erodibility Model): A tool for identifying wind erosion hazard in Australia*, Geomorphology, No. 78, pp. 179-200.
- Webb, N. P., McGowan, H.A., Phinn, S.R., Leys, J.F., and McTainish, G.H. 2009: *A model to predict land susceptibility to wind erosion in western Queensland, Australia*, Environmental Modelling & Software, No. 24, pp. 214-227.
- Webb, N. P., and Strong, C.L. 2011: *Soil erodibility dynamics and its representation for wind erosion and dust emission models*, Aeolian Research, No. 3, pp. 165-179.
- Williams, J.R. 1995: Chapter 25: the EPIC model. *Computer models of watershed hydrology*. Water Resources Publications, pp. 909-1000.
- Wischmeier, W.H., and Smith, D.D. 1978: *Predicting rainfall erosion losses: a guide to conservation planning*. Agriculture Handbook, Vol. 537. US Department of Agriculture, Washington DC, pp. 13-27.
- Zhang, K., Li, S., Peng, W., and Yu, B. 2004: *Erodibility of agricultural soils and loess plateau of China*. Soil Tillage Research, No. 76, pp. 157-165.

پژوهشگاه علوم انسانی و مطالعات فرهنگی  
پرستال جامع علوم انسانی